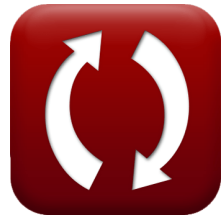




calculatoratoz.com



unitsconverters.com

Allmählich variierender Fluss in Kanälen Formeln

Rechner!

Beispiele!

Konvertierungen!

Lesezeichen calculatoratoz.com, unitsconverters.com

Größte Abdeckung von Rechnern und wächst - **30.000+ Rechner!**
Rechnen Sie mit einer anderen Einheit für jede Variable - **Eingebaute Einheitenumrechnung!**

Größte Sammlung von Maßen und Einheiten - **250+ Messungen!**

Fühlen Sie sich frei, dieses Dokument mit Ihren Freunden zu **TEILEN!**

[Bitte hinterlassen Sie hier Ihr Rückkoppelung...](#)



Liste von 36 Allmählich variierender Fluss in Kanälen Formeln

Allmählich variierender Fluss in Kanälen ↗

1) Bed Slope gegeben Slope of Dynamic Equation of Gradually Varied Flow ↗

fx $S_0 = S_f + \left(m \cdot \left(1 - \left(F_{r(d)}^2 \right) \right) \right)$

[Rechner öffnen ↗](#)

ex $4.041 = 2.001 + \left(4 \cdot \left(1 - \left((0.7)^2 \right) \right) \right)$

2) Bereich des Abschnitts mit Froude-Nummer ↗

fx $S = \left(\left(Q_f^2 \cdot \frac{T}{[g] \cdot Fr^2} \right) \right)^{\frac{1}{3}}$

[Rechner öffnen ↗](#)

ex $3.997777m^2 = \left(\left((177m^3/s)^2 \cdot \frac{2m}{[g] \cdot (10)^2} \right) \right)^{\frac{1}{3}}$

3) Bettneigung bei gegebener Energieneigung eines rechteckigen Kanals ↗

fx $S_0 = \frac{S_f}{\left(\frac{C}{d_f} \right)^{\frac{10}{3}}}$

[Rechner öffnen ↗](#)

ex $2.749304 = \frac{2.001}{\left(\frac{3m}{3.3m} \right)^{\frac{10}{3}}}$



4) Chezy-Formel für Bettneigung bei gegebener Energieneigung des rechteckigen Kanals

fx $S_0 = \frac{S_f}{\left(\frac{C}{d_f}\right)^3}$

[Rechner öffnen !\[\]\(cbe80b694ebd74fcfe136a095b608235_img.jpg\)](#)

ex $2.663331 = \frac{2.001}{\left(\frac{3m}{3.3m}\right)^3}$

5) Chezy-Formel für die Flusstiefe bei gegebener Energiesteigung des rechteckigen Kanals

fx $d_f = \frac{C}{\left(\frac{S_f}{S_0}\right)^{\frac{1}{3}}}$

[Rechner öffnen !\[\]\(3e2231b1ad3ca8da8658228c00dd08e0_img.jpg\)](#)

ex $3.779448m = \frac{3m}{\left(\frac{2.001}{4.001}\right)^{\frac{1}{3}}}$

6) Chezy-Formel für die normale Tiefe bei gegebener Energiesteigung des rechteckigen Kanals

fx $C = \left(\left(\frac{S_f}{S_0} \right)^{\frac{1}{3}} \right) \cdot d_f$

[Rechner öffnen !\[\]\(0d5ec72f61334709c3fc9450209b754f_img.jpg\)](#)

ex $2.61943m = \left(\left(\frac{2.001}{4.001} \right)^{\frac{1}{3}} \right) \cdot 3.3m$

7) Energiegradient bei gegebener Bettneigung

fx $i = S_0 - S_f$

[Rechner öffnen !\[\]\(b64b40baaee5acddc1eab8538ba84754_img.jpg\)](#)

ex $2 = 4.001 - 2.001$



8) Energiegradient bei gegebener Steigung ↗

fx $i = \left(1 - \left(Q_{eg}^2 \cdot \frac{T}{[g] \cdot S^3} \right) \right) \cdot m$

[Rechner öffnen ↗](#)

ex $2.02323 = \left(1 - \left((12.5 \text{m}^3/\text{s})^2 \cdot \frac{2\text{m}}{[g] \cdot (4.01 \text{m}^2)^3} \right) \right) \cdot 4$

9) Entladung bei gegebener Gesamtenergie ↗

fx $Q_f = ((E_t - d_f) \cdot 2 \cdot [g] \cdot S^2)^{0.5}$

[Rechner öffnen ↗](#)

ex $177.4395 \text{m}^3/\text{s} = ((103.13 \text{J} - 3.3 \text{m}) \cdot 2 \cdot [g] \cdot (4.01 \text{m}^2)^2)^{0.5}$

10) Entladung gegebener Energiegradient ↗

fx $Q_{eg} = \left(\left(\left(1 - \left(\frac{i}{m} \right) \right) \cdot \frac{[g] \cdot S^3}{T} \right) \right)^{0.5}$

[Rechner öffnen ↗](#)

ex $12.51021 \text{m}^3/\text{s} = \left(\left(\left(1 - \left(\frac{2.02}{4} \right) \right) \cdot \frac{[g] \cdot (4.01 \text{m}^2)^3}{2\text{m}} \right) \right)^{0.5}$

11) Entlassung gegeben Froude-Nummer ↗

fx $Q_f = \frac{Fr}{\sqrt{\frac{T}{[g] \cdot S^3}}}$

[Rechner öffnen ↗](#)

ex $177.8123 \text{m}^3/\text{s} = \frac{10}{\sqrt{\frac{2\text{m}}{[g] \cdot (4.01 \text{m}^2)^3}}}$



12) Fließtiefe bei gegebener Gesamtenergie ↗

fx $d_f = E_t - \left(\frac{Q_f^2}{2 \cdot [g] \cdot S^2} \right)$

[Rechner öffnen ↗](#)

ex $3.793897m = 103.13J - \left(\frac{(177m^3/s)^2}{2 \cdot [g] \cdot (4.01m^2)^2} \right)$

13) Froude-Zahl bei gegebener oberer Breite ↗

fx $Fr = \sqrt{Q_f^2 \cdot \frac{T}{[g] \cdot S^3}}$

[Rechner öffnen ↗](#)

ex $9.954315 = \sqrt{(177m^3/s)^2 \cdot \frac{2m}{[g] \cdot (4.01m^2)^3}}$

14) Froude-Zahl bei gegebener Steigung der dynamischen Gleichung des allmählich veränderten Flusses ↗

fx $F_{r(d)} = \sqrt{1 - \left(\frac{S_0 - S_f}{m} \right)}$

[Rechner öffnen ↗](#)

ex $0.707107 = \sqrt{1 - \left(\frac{4.001 - 2.001}{4} \right)}$



15) Gesamtenergie des Flusses ↗

fx $E_t = d_f + \frac{Q_f^2}{2 \cdot [g] \cdot S^2}$

[Rechner öffnen](#)

ex $102.6361J = 3.3m + \frac{(177m^3/s)^2}{2 \cdot [g] \cdot (4.01m^2)^2}$

16) Normale Tiefe bei gegebener Energieneigung des rechteckigen Kanals ↗

fx $C = \left(\left(\frac{S_f}{S_0} \right)^{\frac{3}{10}} \right) \cdot d_f$

[Rechner öffnen](#)

ex $2.680634m = \left(\left(\frac{2.001}{4.001} \right)^{\frac{3}{10}} \right) \cdot 3.3m$

17) Obere Breite bei gegebenem Energiegradient ↗

fx $T = \left(\left(1 - \left(\frac{i}{m} \right) \right) \cdot \frac{[g] \cdot S^3}{Q_{eg}^2} \right)$

[Rechner öffnen](#)

ex $2.003268m = \left(\left(1 - \left(\frac{2.02}{4} \right) \right) \cdot \frac{[g] \cdot (4.01m^2)^3}{(12.5m^3/s)^2} \right)$

18) Querschnittsbereich mit Energiegradient ↗

fx $S = \left(Q_{eg}^2 \cdot \frac{T}{\left(1 - \left(\frac{i}{m} \right) \right) \cdot ([g])} \right)^{\frac{1}{3}}$

[Rechner öffnen](#)

ex $4.007819m^2 = \left((12.5m^3/s)^2 \cdot \frac{2m}{\left(1 - \left(\frac{2.02}{4} \right) \right) \cdot ([g])} \right)^{\frac{1}{3}}$



19) Querschnittsfläche bei gegebener Gesamtenergie ↗

fx $S = \left(\frac{Q_f^2}{2 \cdot [g] \cdot (E_t - d_f)} \right)^{0.5}$

[Rechner öffnen ↗](#)

ex $4.000068m^2 = \left(\frac{(177m^3/s)^2}{2 \cdot [g] \cdot (103.13J - 3.3m)} \right)^{0.5}$

20) Steigung der dynamischen Gleichung der sich allmählich ändernden Strömung bei gegebenem Energiegradient ↗

fx $m = \frac{i}{1 - \left(Q_{eg}^2 \cdot \frac{T}{[g] \cdot S^3} \right)}$

[Rechner öffnen ↗](#)

ex $3.993615 = \frac{2.02}{1 - \left((12.5m^3/s)^2 \cdot \frac{2m}{[g] \cdot (4.01m^2)^3} \right)}$

21) Steigung der dynamischen Gleichung von allmählich varierenden Strömungen ↗

fx $m = \frac{S_0 - S_f}{1 - \left(F_{r(d)}^2 \right)}$

[Rechner öffnen ↗](#)

ex $3.921569 = \frac{4.001 - 2.001}{1 - \left((0.7)^2 \right)}$



22) Tiefe des Flusses bei gegebener Energieneigung des rechteckigen Kanals

fx

$$d_f = \frac{C}{\left(\frac{S_f}{S_0}\right)^{\frac{3}{10}}}$$

[Rechner öffnen !\[\]\(6605b201d6f14d9b3bcb8ab5f274d107_img.jpg\)](#)

ex

$$3.693156m = \frac{3m}{\left(\frac{2.001}{4.001}\right)^{\frac{3}{10}}}$$

23) Top-Breite mit Froude-Nummer

fx

$$T = \frac{Fr^2 \cdot S^3 \cdot [g]}{Q_f^2}$$

[Rechner öffnen !\[\]\(e8fb589d58dad1692debababa5e928b6_img.jpg\)](#)

ex

$$2.0184m = \frac{(10)^2 \cdot (4.01m^2)^3 \cdot [g]}{(177m^3/s)^2}$$

24) Unteres Gefälle des Kanals bei gegebenem Energiegradienten

fx

$$S_0 = i + S_f$$

[Rechner öffnen !\[\]\(4688aadfd656ded00cd6bdfae55089a9_img.jpg\)](#)

ex

$$4.021 = 2.02 + 2.001$$

Energiesteigung

25) Chezy-Formel für die Energiesteigung des rechteckigen Kanals

fx

$$S_f = S_0 \cdot \left(\frac{C}{d_f}\right)^3$$

[Rechner öffnen !\[\]\(9db214d549b9aeebe72aa11d3a5c4b1a_img.jpg\)](#)

ex

$$3.006011 = 4.001 \cdot \left(\frac{3m}{3.3m}\right)^3$$



26) Energiegefälle des Kanals bei gegebenem Energiegefälle ↗

fx $S_f = S_0 - i$

[Rechner öffnen](#) ↗

ex $1.981 = 4.001 - 2.02$

27) Energiesteigung bei gegebener Steigung der dynamischen Gleichung des allmählich veränderten Durchflusses ↗

fx $S_f = S_0 - \left(m \cdot \left(1 - \left(F_{r(d)}^2 \right) \right) \right)$

[Rechner öffnen](#) ↗

ex $1.961 = 4.001 - \left(4 \cdot \left(1 - \left((0.7)^2 \right) \right) \right)$

28) Energiesteigung des rechteckigen Kanals ↗

fx $S_f = S_0 \cdot \left(\frac{C}{d_f} \right)^{\frac{10}{3}}$

[Rechner öffnen](#) ↗

ex $2.91201 = 4.001 \cdot \left(\frac{3m}{3.3m} \right)^{\frac{10}{3}}$



Breiter rechteckiger Kanal ↗

29) Bed Slope of Channel gegeben Slope of Dynamic Equation of GVF durch Chezy-Formel ↗

fx

$$S_0 = \frac{m}{\left(\frac{1 - \left(\left(\frac{y}{d_f} \right)^3 \right)}{1 - \left(\left(\left(\frac{h_c}{d_f} \right)^3 \right)} \right)}$$

Rechner öffnen ↗

ex

$$4.291382 = \frac{4}{\left(\frac{1 - \left(\left(\frac{1.5m}{3.3m} \right)^3 \right)}{1 - \left(\left(\left(\frac{1.001m}{3.3m} \right)^3 \right)} \right)}$$

30) Bettneigung des Kanals bei gegebener Neigung der dynamischen Gleichung der allmählich veränderten Strömung ↗

fx

$$S_0 = \frac{m}{\left(\frac{1 - \left(\left(\frac{y}{d_f} \right)^{\frac{10}{3}} \right)}{1 - \left(\left(\frac{h_c}{d_f} \right)^3 \right)} \right)}$$

Rechner öffnen ↗

ex

$$4.190987 = \frac{4}{\left(\frac{1 - \left(\left(\frac{1.5m}{3.3m} \right)^{\frac{10}{3}} \right)}{1 - \left(\left(\frac{1.001m}{3.3m} \right)^3 \right)} \right)}$$



31) Chezy-Formel für die kritische Kanaltiefe bei gegebener Steigung der dynamischen Gleichung von GVF ↗

[Rechner öffnen ↗](#)
fx

$$H_C = \left(\left(1 - \left(\left(\frac{1 - \left(\left(\frac{y}{d_f} \right)^3 \right)}{\frac{m}{S_0}} \right) \right)^{\frac{1}{3}} \right) \right) \cdot d_f$$

ex

$$0.106454m = \left(\left(1 - \left(\left(\frac{1 - \left(\left(\frac{1.5m}{3.3m} \right)^3 \right)}{\frac{4}{4.001}} \right) \right)^{\frac{1}{3}} \right) \right) \cdot 3.3m$$

32) Chezy-Formel für die normale Tiefe des Kanals bei gegebener Steigung der dynamischen Gleichung von GVF ↗

[Rechner öffnen ↗](#)
fx

$$y = \left(\left(1 - \left(\left(\frac{m}{S_0} \right) \cdot \left(\left(1 - \left(\left(\left(\frac{h_c}{d_f} \right)^3 \right) \right) \right) \right)^{\frac{1}{3}} \right) \right) \cdot d_f$$

ex

$$1.003896m = \left(\left(1 - \left(\left(\frac{4}{4.001} \right) \cdot \left(\left(1 - \left(\left(\left(\frac{1.001m}{3.3m} \right)^3 \right) \right) \right)^{\frac{1}{3}} \right) \right) \right) \cdot 3.3m$$



33) Chezy-Formel für die Steigung der dynamischen Gleichung des allmählich veränderten Flusses ↗

fx $m = S_0 \cdot \left(\frac{1 - \left(\left(\frac{y}{d_f} \right)^3 \right)}{1 - \left(\left(\left(\frac{h_c}{d_f} \right)^3 \right) \right)} \right)$

[Rechner öffnen](#)

ex $3.729335 = 4.001 \cdot \left(\frac{1 - \left(\left(\frac{1.5m}{3.3m} \right)^3 \right)}{1 - \left(\left(\left(\frac{1.001m}{3.3m} \right)^3 \right) \right)} \right)$

34) Kritische Tiefe des Kanals bei gegebener Steigung der dynamischen Gleichung des allmählich veränderten Flusses ↗

fx $H_C = \left(\left(1 - \left(\left(\frac{1 - \left(\left(\frac{y}{d_f} \right)^{\frac{10}{3}} \right)}{\frac{m}{S_0}} \right) \right)^{\frac{1}{3}} \right) \right) \cdot d_f$

[Rechner öffnen](#)

ex $0.081154m = \left(\left(1 - \left(\left(\frac{1 - \left(\left(\frac{1.5m}{3.3m} \right)^{\frac{10}{3}} \right)}{\frac{4}{4.001}} \right) \right)^{\frac{1}{3}} \right) \right) \cdot 3.3m$



35) Normale Tiefe des Kanals bei gegebener Steigung der dynamischen Gleichung des allmählich variierenden Flusses ↗

fx**Rechner öffnen** ↗

$$y = \left(\left(1 - \left(\left(\frac{m}{S_0} \right) \cdot \left(\left(1 - \left(\left(\left(\frac{h_c}{d_f} \right)^3 \right) \right) \right) \right) \right)^{\frac{3}{10}} \right) \cdot d_f \right)$$

ex

$$1.130762m = \left(\left(1 - \left(\left(\frac{4}{4.001} \right) \cdot \left(\left(1 - \left(\left(\left(\frac{1.001m}{3.3m} \right)^3 \right) \right) \right) \right) \right)^{\frac{3}{10}} \right) \cdot 3.3m \right)$$

36) Steigung der dynamischen Gleichungen der allmählich variierenden Strömung ↗

fx**Rechner öffnen** ↗

$$m = S_0 \cdot \left(\frac{1 - \left(\left(\frac{y}{d_f} \right)^{\frac{10}{3}} \right)}{1 - \left(\left(\frac{h_c}{d_f} \right)^3 \right)} \right)$$

ex

$$3.818671 = 4.001 \cdot \left(\frac{1 - \left(\left(\frac{1.5m}{3.3m} \right)^{\frac{10}{3}} \right)}{1 - \left(\left(\frac{1.001m}{3.3m} \right)^3 \right)} \right)$$



Verwendete Variablen

- **C** Kritische Tiefe des Kanals (*Meter*)
- **d_f** Fließtiefe (*Meter*)
- **E_t** Gesamtenergie im offenen Kanal (*Joule*)
- **F_{r(d)}** Froude Nein durch dynamische Gleichung
- **Fr** Froude-Nummer
- **h_c** Kritische Wehrtiefe (*Meter*)
- **H_C** Kritische Tiefe des Kanal-GVF-Flusses (*Meter*)
- **i** Hydraulisches Gefälle zum Druckverlust
- **m** Steigung der Linie
- **Q_{eg}** Entladung durch Energiegradienten (*Kubikmeter pro Sekunde*)
- **Q_f** Entlastung für GVF Flow (*Kubikmeter pro Sekunde*)
- **S** Benetzte Oberfläche (*Quadratmeter*)
- **S₀** Bettgefälle des Kanals
- **S_f** Energiehang
- **T** Obere Breite (*Meter*)
- **y** Normale Tiefe (*Meter*)



Konstanten, Funktionen, verwendete Messungen

- **Konstante:** **[g]**, 9.80665 Meter/Second²
Gravitational acceleration on Earth
- **Funktion:** **sqrt**, sqrt(Number)
Square root function
- **Messung:** **Länge** in Meter (m)
Länge Einheitenumrechnung ↗
- **Messung:** **Bereich** in Quadratmeter (m²)
Bereich Einheitenumrechnung ↗
- **Messung:** **Energie** in Joule (J)
Energie Einheitenumrechnung ↗
- **Messung:** **Volumenstrom** in Kubikmeter pro Sekunde (m³/s)
Volumenstrom Einheitenumrechnung ↗



Überprüfen Sie andere Formellisten

- Allmählich variierender Fluss in Kanälen Formeln 

Fühlen Sie sich frei, dieses Dokument mit Ihren Freunden zu TEILEN!

PDF Verfügbar in

[English](#) [Spanish](#) [French](#) [German](#) [Russian](#) [Italian](#) [Portuguese](#) [Polish](#) [Dutch](#)

2/1/2024 | 4:10:48 PM UTC

[Bitte hinterlassen Sie hier Ihr Rückkoppelung...](#)

